



En el Marco del Proyecto 397-PNICP-PIAP-2014

## **INFORME MENSUAL: marzo de 2017**

### **EVENTOS HIDROLÓGICOS EXTREMOS EN LA AMAZONÍA PERUANA: Sistema de Alerta para la Previsión**



Foto: Inundaciones en la selva norte del Perú (río Amazonas - 2017).

Elaboración: Ing. Lucio Vergara S. (ANA) [lvergara@ana.gob.pe](mailto:lvergara@ana.gob.pe)

Revisión: Dr. Jhan Carlo Espinoza (IGP) [jhan-carlo.espinoza@igp.gob.pe](mailto:jhan-carlo.espinoza@igp.gob.pe)

Marzo, 2017

Lima-Perú

# CONTENIDO

- I. Introducción
- II. Objetivo
- III. Datos hidroclimáticos
- IV. Análisis de las condiciones iniciales
  - 4.1. Análisis de las condiciones globales del clima
    - a. Temperatura superficial del mar
    - b. Circulación atmosférica global
    - c. Flujos de humedad y su divergencia
  - 4.2. Análisis de la precipitación
    - a. Anomalías de precipitación últimos 30 días, TRMM
    - b. Evolución temporal de anomalías de precipitación
  - 4.3. Análisis de registro de niveles de ríos
- V. Análisis de las previsiones
  - 5.1. Análisis de la temperatura superficial del mar
    - a. Pronóstico de la región Niño 3.4
    - b. Pronóstico de la región NATL
  - 5.2. Análisis del pronóstico de las precipitaciones
- VI. Conclusiones
- VII. Referencias

# **EVENTOS HIDROLÓGICOS EXTREMOS EN LA AMAZONÍA PERUANA:**

## **Sistema de Alerta para la Previsión**

### **I. Introducción**

El presente informe mensual del estudio “Eventos Hidrológicos Extremos en la Amazonía Peruana: Sistema de Alerta Cualitativo para la Previsión”, está elaborado en el marco del observatorio ORE-HYBAM y es posible gracias al convenio interinstitucional entre la Autoridad Nacional del Agua y el Instituto Geofísico del Perú. Asimismo, este documento constituye un producto del proyecto 397-PNICP-PIAP-2014. Esta cooperación interinstitucional tiene como objetivo la elaboración e implementación del estudio en mención, con la finalidad de contar con un sistema estacional que permita prever los impactos de los eventos hidrológicos extremos en la sociedad de la Amazonía peruana.

Durante los últimos años, estudios científicos han evidenciado la influencia de la temperatura superficial del mar anómalos de algunas regiones oceánicas circundantes en la ocurrencia de eventos hidrológicos extremos en la Amazonía peruana, como es descrito en Espinoza et al. (2009, 2011, 2012a y 2013) y Yoon & Zeng (2010), así como en Lavado et al. (2012), entre otros.

En este informe mensual correspondiente al mes de marzo 2017, se presentan los resultados del análisis de las condiciones actuales hasta el último día del mes y la previsión de las variables hidroclimáticas para los próximos 03 meses.

### **II. Objetivo**

Establecer el sistema de alerta cualitativo estacional que permita conocer, bajo un criterio técnico, las condiciones hidrológicas más probables de los principales ríos Amazónicos peruanos durante las estaciones críticas del año. Esto permitirá prever la posible ocurrencia de eventos hidrológicos extremos.

### **III. Conjunto de Datos**

La base de datos de las variables hidroclimáticas, se viene actualizando diariamente, semanalmente y mensualmente con información proveniente de diferentes agencias internacionales de investigación del clima y disciplinas afines, así como de servicios nacionales y locales. Para más detalle revisar el primer informe mensual y complementario correspondiente al mes de setiembre de 2013.

## **IV. Análisis de Condiciones Iniciales**

### **4.1. Condiciones Globales y Regionales del Clima**

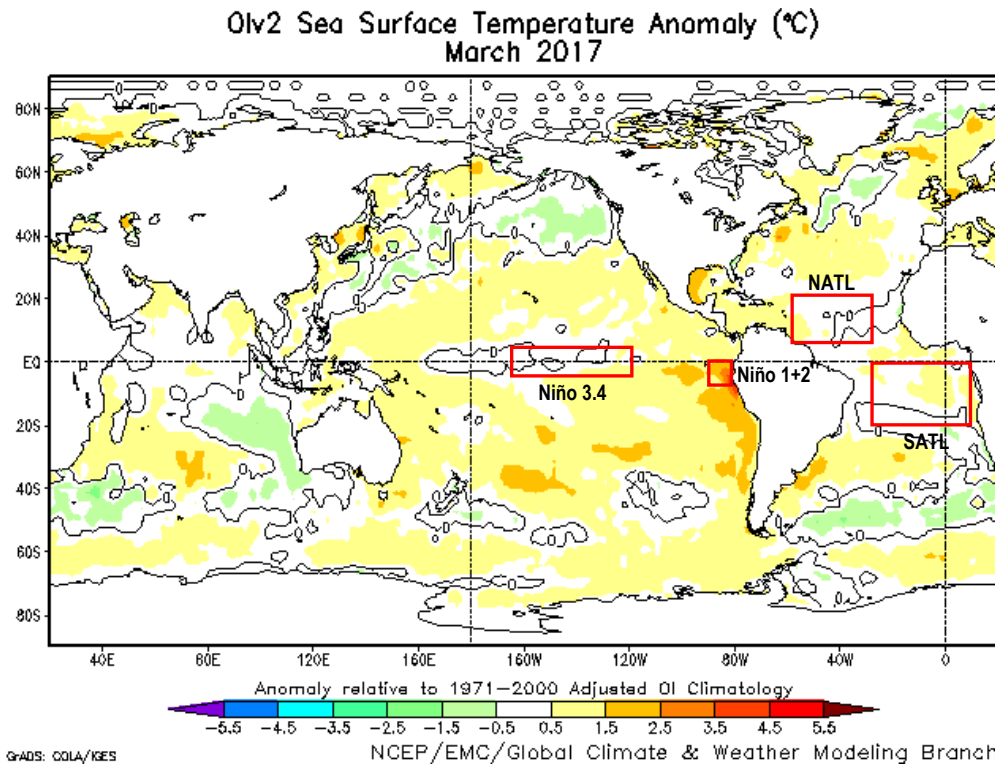
En esta sección presentamos el análisis de las anomalías de temperatura superficial del mar (TSM) del Pacífico ecuatorial y Atlántico tropical, de la circulación atmosférica regional con dominio de América del Sur (50°N a 60°S, 0°W a 150°W), asimismo, el análisis de los flujos de humedad y su divergencia en la región (20°N a 30°S, 100°W a 20°W). Las informaciones provienen de la Administración Nacional Oceánica Atmosférica de los Estados Unidos (NOAA por sus siglas en inglés). Las anomalías de TSM son reportados en grados Celsius (°C) y las anomalías de vectores de viento son reportados en m/s, ambos en formato gráfico.

#### **a) Anomalías de Temperatura Superficial del Mar (TSM)**

Durante el mes de marzo de 2017 la TSM en la región del Atlántico tropical Norte (NATL) mostró condiciones ligeramente cálidas con anomalías positivas de 0.1°C en promedio (predominancia de color blanco, ver Fig. 1 y Tabla 1), con un descenso respecto al mes de febrero. Por otro lado, hubo un ligero ascenso de anomalías positivas de TSM con respecto al mes de febrero, de 0.0°C a 0.1°C en promedio en la región Atlántico tropical Sur (SATL; ver Fig. 1 y Tabla 1).

El Pacífico ecuatorial Central (Niño 3.4) sigue mostrando ligeras anomalías positivas de TSM de 0.1°C en promedio (región con predominancia de color blanco en Fig. 1 y Tabla 1). Mientras que, la región del Pacífico ecuatorial Este (Niño 1+2) mostró anomalías positivas de TSM de 2.0°C en promedio (Tabla 1 y dominio de color naranja oscuro en Fig. 1) con un ascenso importante respecto al mes de febrero. El Comunicado Oficial N°07-2017 (marzo) del ENFEN reportó que la zona norte del mar peruano, continuaron presentando valores de TSM de 28°C, pero en la última semana se observó un repliegue de las aguas más cálidas hacia el norte de dicha región. La anomalía semanal de la TSM alcanzo un valor máximo de +2.6°C.

En resumen, la TSM en las regiones del Atlántico tropical muestran condiciones neutras, en contraste con la región del Pacífico ecuatorial Este, que muestra condiciones más cálidas de lo normal durante el mes de marzo 2017 (Fig. 1).



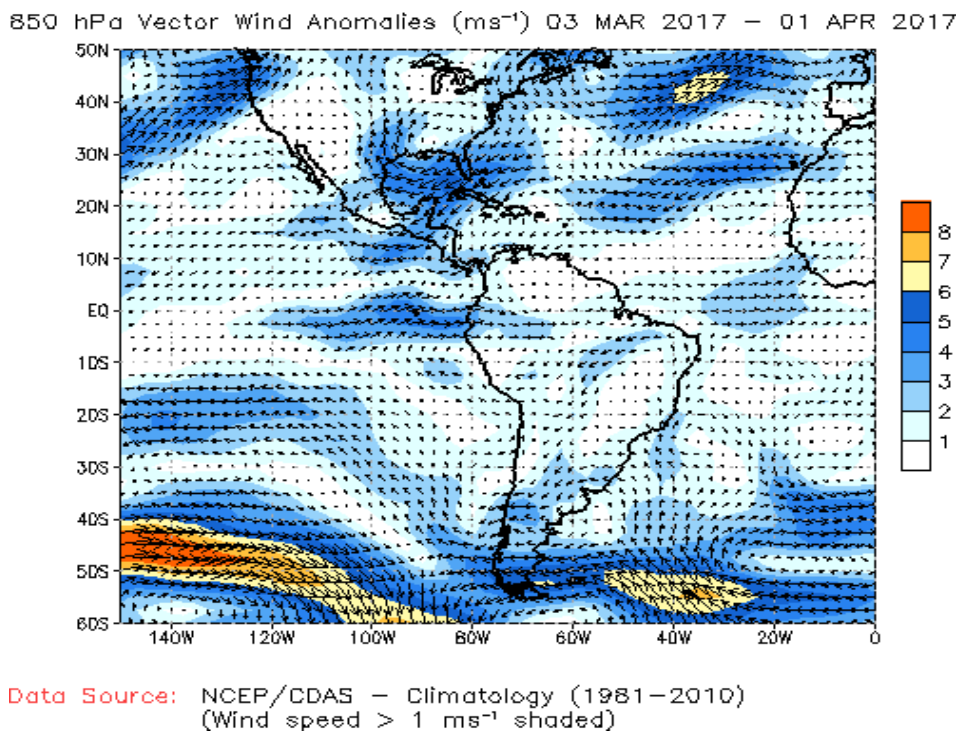
**Fig. 1:** Anomalías de temperatura superficial del mar (TSM) en °C del mes de marzo de 2017. Las anomalías son calculadas utilizando la climatología del periodo base 1971-2000. Fuente NOAA/NCEP.

<b>MARZO 2017</b>								
<b>MES</b>	<b>TSM PACÍFICO</b>				<b>TSM ATLÁNTICO</b>			
	<b>NINO 1+2</b>		<b>NINO 3.4</b>		<b>N. ATL</b>		<b>S. ATL</b>	
	<b>0-10S</b>	<b>90W-80W</b>	<b>5N-5S</b>	<b>170W-120W</b>	<b>5N-20N</b>	<b>60W-30W</b>	<b>0-20S</b>	<b>30W-10E</b>
<b>MAR 16</b>	0.9	27.6	1.7	28.9	0.4	26.0	0.3	27.4
<b>ABR 16</b>	0.2	25.8	1.1	28.9	0.3	26.2	0.1	27.2
<b>MAY 16</b>	0.3	24.6	0.3	28.2	0.5	26.8	0.1	26.3
<b>JUN 16</b>	0.3	23.2	-0.1	27.5	0.4	27.1	0.4	25.4
<b>JUL 16</b>	0.2	21.8	-0.5	26.7	0.4	27.6	0.5	24.3
<b>AGO 16</b>	0.4	21.0	-0.5	26.3	0.4	28.2	0.3	23.4
<b>SET 16</b>	0.5	20.9	-0.6	26.1	0.4	28.6	0.1	23.1
<b>OCT 16</b>	0.4	21.2	-0.7	26.0	0.4	28.5	0.2	23.6
<b>NOV 16</b>	0.1	21.7	-0.6	26.1	0.6	28.3	0.2	24.2
<b>DIC 16</b>	0.5	23.4	-0.4	26.2	0.6	27.4	0.5	25.2
<b>ENE 17</b>	1.2	25.8	-0.3	26.3	0.4	26.4	0.4	26.0
<b>FEB 17</b>	1.6	27.8	0.1	26.9	0.3	25.9	0.0	26.6
<b>MAR 17</b>	<b>2.0</b>	<b>28.6</b>	<b>0.1</b>	<b>27.3</b>	<b>0.1</b>	<b>25.7</b>	<b>0.1</b>	<b>27.2</b>

**Tabla 1.** Temperatura superficial del mar (Anomalías 1ra. columna y °C 2da. columna) para los últimos 12 meses. Las anomalías son variaciones respecto a la climatología de 1981-2010 (Smith & Reynolds, 1998), de regiones oceánicas relevantes para la previsión de eventos extremos en la Amazonía peruana.

## b) Anomalías de la Circulación Atmosférica

Se observó una débil incursión de vientos provenientes del Atlántico tropical norte en el extremo norte del continente. Sin embargo, al este de la cuenca del Amazonas se intensificó el ingreso de los vientos Alisios con magnitud de 3 m/s, en promedio. Asimismo, estos vientos fueron direccionados hacia el suroeste de la cuenca del Amazonas y cuenca del río de La Plata (intensificación del Low-Level Jet; ej. Espinoza et al., 2012b). La presencia de vientos del oeste en el Pacífico ecuatorial este, produjo una mayor concentración de flujo de humedad en gran parte de la región oeste de la cuenca del Amazonas (Fig. 2).



**Fig. 2:** Anomalía de vientos en niveles bajos (850 hPa) de la atmósfera, (del 03 de marzo al 01 de abril de 2017). Las anomalías fueron calculadas utilizando el periodo base los promedios entre 1981 y 2010. Fuente: NOAA/NCEP.

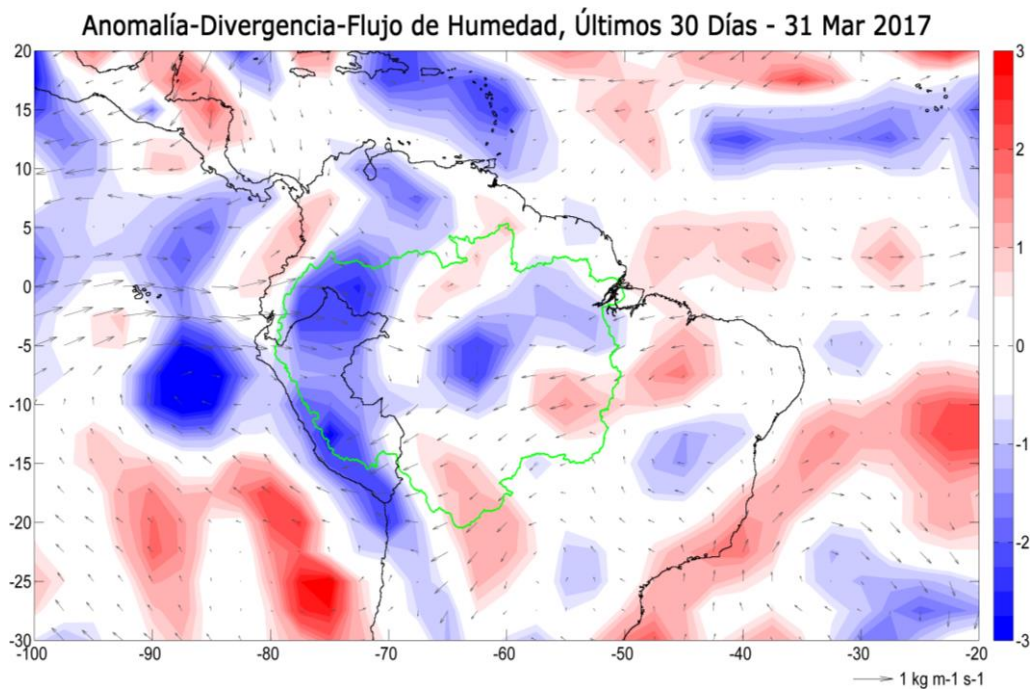
## c) Anomalías de Transporte de Humedad y su Divergencia

Los flujos de humedad y su divergencia fueron elaborados con datos de reanálisis NCEP/NCAR de la NOAA, con una resolución espacial de  $2.5^\circ \times 2.5^\circ$  y resolución temporal diaria. El periodo de análisis es del año 1970 al presente (47 años), en la región entre  $20^\circ\text{N}$ - $30^\circ\text{S}$  y  $100^\circ\text{W}$ - $20^\circ\text{W}$ .

El flujo de humedad integrado verticalmente,  $F_w$ , en un punto de cuadrícula está dado por la siguiente ecuación:

$$F_w = \frac{1}{g} \int_{1000}^{300} q \cdot V \cdot dp$$

donde  $g$  es la aceleración de la gravedad,  $q$  es la humedad específica,  $V$  es el vector de viento horizontal, y  $p$  es la presión. Los flujos son integrados desde la superficie hasta 300 hPa, para más detalle revisar Satyamurty *et al.* (1998).



**Fig. 3:** Anomalías de flujo de humedad integrado en los niveles de 1000 hPa a 300 hPa de la atmósfera y su divergencia. El periodo corresponde de 01 al 31 de marzo 2017. Las anomalías son calculadas utilizando el periodo base de 1970 a 2016. Los límites de la cuenca Amazónica se muestran en línea verde.

En la Figura 3 se observa una fuerte convergencia de flujos de humedad en gran parte de la cuenca del Amazonas, acentuadas sobre las regiones del extremo noroeste (Amazonía colombiana, ecuatoriana y gran parte de la Amazonía peruana) y central de la cuenca del Amazonas. Por otro lado, se muestran divergencias de flujos de humedad en gran parte de la Amazonía boliviana.

## 4.2. Análisis de Precipitaciones

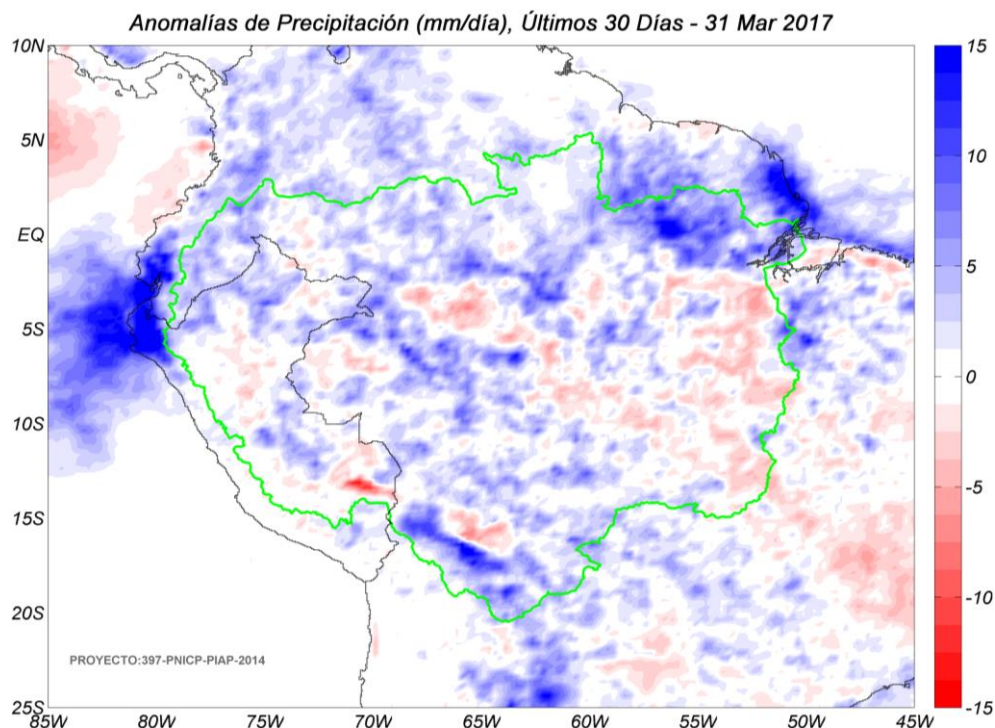
Esta sección presenta el análisis de las anomalías de precipitación del producto de Radar Tropical Rainfall Measuring Mission a tiempo real (TRMM-3B42RT), para más detalle revisar Huffman et al. (2010). Los datos de TRMM-RT son reportados a paso de tiempo diarios a nivel global, pero procesados para la región de interés (10°N a 25°S; 85°W a 45°W) haciendo uso del programa Matlab®, mostrando anomalías de precipitación en mm/día.

### a) Anomalías de Precipitación Radar TRMM-RT

Durante el periodo de 01 hasta 31 de marzo 2017, según datos de TRMM-RT, los valores de la precipitación fueron superiores al promedio climatológico en gran parte de la región norte (cuencas del río Napo, Tigre, Pastaza) y central (cuenca media del Ucayali) de la Amazonía peruana, cuyas anomalías alcanzaron en promedio 6 mm/día. Asimismo, se observaron anomalías positivas de precipitación hasta 8 mm/día en promedio en gran parte de la región norte de la cuenca del Amazonas (ver Fig. 4). Por otro lado, se observaron precipitaciones inferiores al promedio climatológico en las nacientes del río Madre de Dios, Huallaga y Marañón en Perú con anomalías de -6 mm/día en promedio, además, en gran parte de la región sureste de la cuenca del Amazonas.

Las condiciones de precipitación mostradas por la fuente de datos del TRMM-RT en la cuenca del Amazonas podrían atribuirse a las incursiones de flujo de humedad desde el Atlántico tropical, vientos del Este con mayor intensificación y vientos del Oeste en el Pacífico ecuatorial este (Fig. 2). Es así que, se generaron convergencias de flujos de vapor de agua sobre gran parte de la región noroeste y central de la cuenca del Amazonas (Fig. 3) que originaron lluvias en gran parte de la región norte y central de la cuenca del Amazonas (Fig. 4). Por otro lado, se observó ligero déficit de precipitación en la cuenca del río Madre de Dios y gran parte de la región sureste de la cuenca del Amazonas.



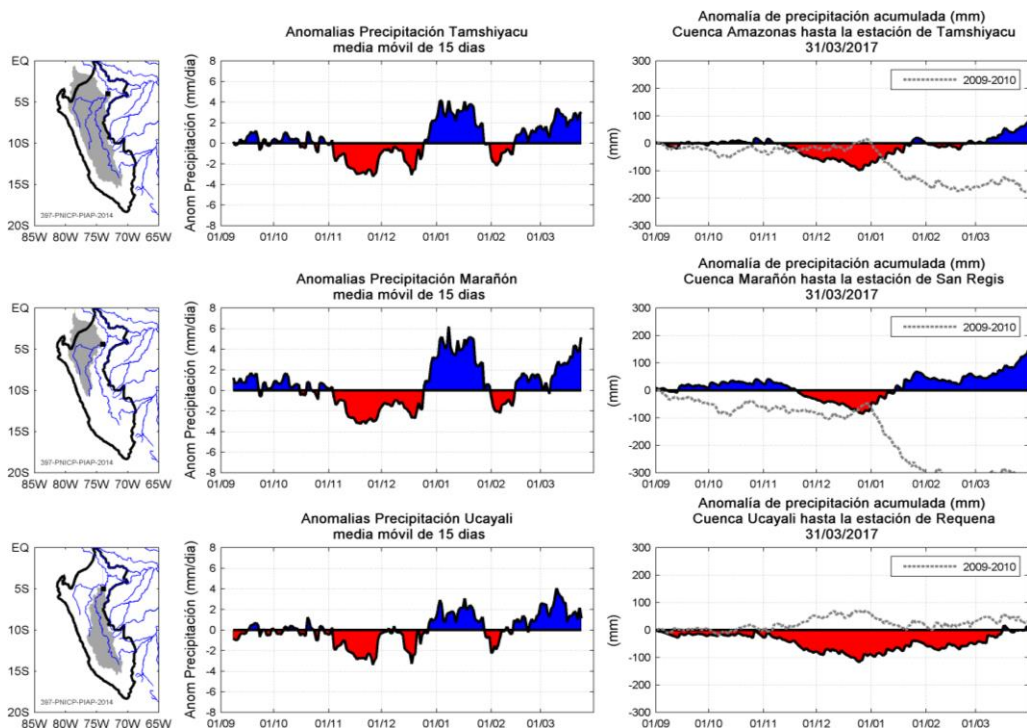


**Fig. 4:** Anomalías de precipitación estimadas por el TRMM-RT en mm/día hasta 31 de marzo de 2017. Las anomalías fueron calculadas con respecto al periodo base promedio 2000-2016. Se muestra los límites de la cuenca Amazónica en líneas de color verde. Las anomalías de precipitación del TRMM-RT actualizadas a tiempo real puede verse en: <http://intranet.igp.gob.pe/eventos-extremos-amazonia-peruana/>.

## **b) Evolución Temporal de Anomalías de Precipitación para las Cuencas Amazónicas Peruanas**

La evolución temporal de anomalías de precipitación para las principales cuencas hidrográficas de la Amazonía peruana fue calculada utilizando las estimaciones del producto TRMM-RT. El periodo para la obtención del armónico de la precipitación es del 2000 al 2016 para cada cuenca (la estación de Tamshiyacu en el río Amazonas, la estación de San Regis en el río Marañón y la estación de Requena en el río Ucayali. Ver ubicación de las estaciones y cuencas de drenaje en la Fig. 5). Los armónicos consisten en la representación de las fluctuaciones o variaciones en una serie de datos como la suma de una serie de funciones de senos y cosenos.

Utilizando el análisis de armónicos de la precipitación, se calculó la anomalía de precipitación diaria suavizadas mediante una media móvil de 15 días y la anomalía de precipitación acumulada desde el inicio del año hidrológico (01/09).



**Fig. 5:** Evolución temporal de anomalías de precipitación integradas en las principales cuencas hidrográficas de la Amazonía peruana: el río Amazonas hasta la estación Tamshiyacu (arriba), el río Marañón hasta la estación San Regis (medio) y el río Ucayali hasta la estación Requena (abajo). En la columna de la izquierda se observa la ubicación de las cuencas hidrográficas. En la columna del medio se muestran anomalías de precipitación. En la columna de la derecha se muestran anomalías acumuladas hasta la fecha indicada. En color azul se indican anomalías positivas de precipitación (valores por encima del promedio climatológico), en color rojo anomalías negativas de precipitación (valores por debajo del promedio climatológico). Las anomalías son calculadas considerando un periodo base de 2000 al 2016. La línea de color gris muestra la precipitación acumulada correspondiente a cada cuenca hidrográfica para el año 2009-2010. Para ver esta figura actualizada a tiempo real ir a: <http://intranet.igp.gob.pe/eventos-extremos-amazonia-peruana/>.

Las series temporales de precipitación promedio en las tres principales cuencas de la Amazonía peruana (Amazonas, Marañón y Ucayali) presentaron condiciones más húmedas de lo normal desde mediados de mes de febrero. Cabe señalar que las anomalías positivas de precipitación más intensa se registraron sobre la región norte (cuenca del río Marañón) en el mes de marzo que sobrepasaron los 4 mm/día (ver Fig. 5). Sin embargo, esta diferencia en el comportamiento de la precipitación entre el norte y el sur de la Amazonia peruana es coherente con las

condiciones de precipitación precedentes, ver informes de enero, febrero y observadas en la Fig. 4.

En la cuenca del Amazonas hasta la estación de Tamshiyacu (cerca de Iquitos) la anomalía de precipitación acumulada para el presente año hidrológico es favorable, con un valor positivo hasta la fecha de 90 mm. Asimismo, en la cuenca del río Marañón se observa un mayor exceso de precipitación acumulada para el presente año hidrológico, que alcanza los 150 mm, esta cuenca presenta la mayor contribución a la precipitación acumulada de la cuenca de Tamshiyacu (Fig. 5, derecha). En el sur de la Amazonía peruana, en la cuenca del río Ucayali, la precipitación acumulada se encuentra en el rango normal con magnitud de 0.0 mm en promedio. La distribución espacial de las lluvias mostrada en la Fig. 4 no muestra una marcada diferencia en las precipitaciones para las cuencas del norte (Marañón) y del sur (Ucayali). Sin embargo, analizando la precipitación acumulada, debido a las precipitaciones presentes en el mes de marzo, es notorio la diferenciación.

#### **4.3. Análisis de Niveles de Agua de los Ríos**

El SEHINAV (Servicio de Hidrografía y Navegación de la Amazonía) de la Dirección de Hidrografía y Navegación, reporta a tiempo real los histogramas de niveles de los ríos de la amazonía peruana a paso de tiempo diario en alturas geoidales y arbitrarias, dichos productos se pueden encontrar en el siguiente enlace: <https://www.dhn.mil.pe/shna/index2.asp>.

En términos de niveles de agua de los principales ríos de la Amazonía peruana, fueron analizados hasta el 03 de abril 2017, estos permanecen por encima del promedio climatológico, con mayor intensidad en la estación de San Regis (río Marañón) que se registraron valores superiores de lo normal. Estos valores en exceso se registraron en las estaciones de Iquitos, San Regis, Yurimaguas y Pucallpa con anomalías de nivel de agua de 0.7%, 2.0%, 0.5% y 0.3%, respectivamente (ver Fig. 6). Este contraste entre el norte y el sur de la Amazonía peruana es coherente con la mayor precipitación acumulada observada en la cuenca del río Marañón y condiciones normales en la cuenca del río Ucayali. En general, todos los ríos se encuentran en una fase de ascenso, debido a la temporada de las fuertes precipitaciones desde mediados de febrero (ver Fig. 5).

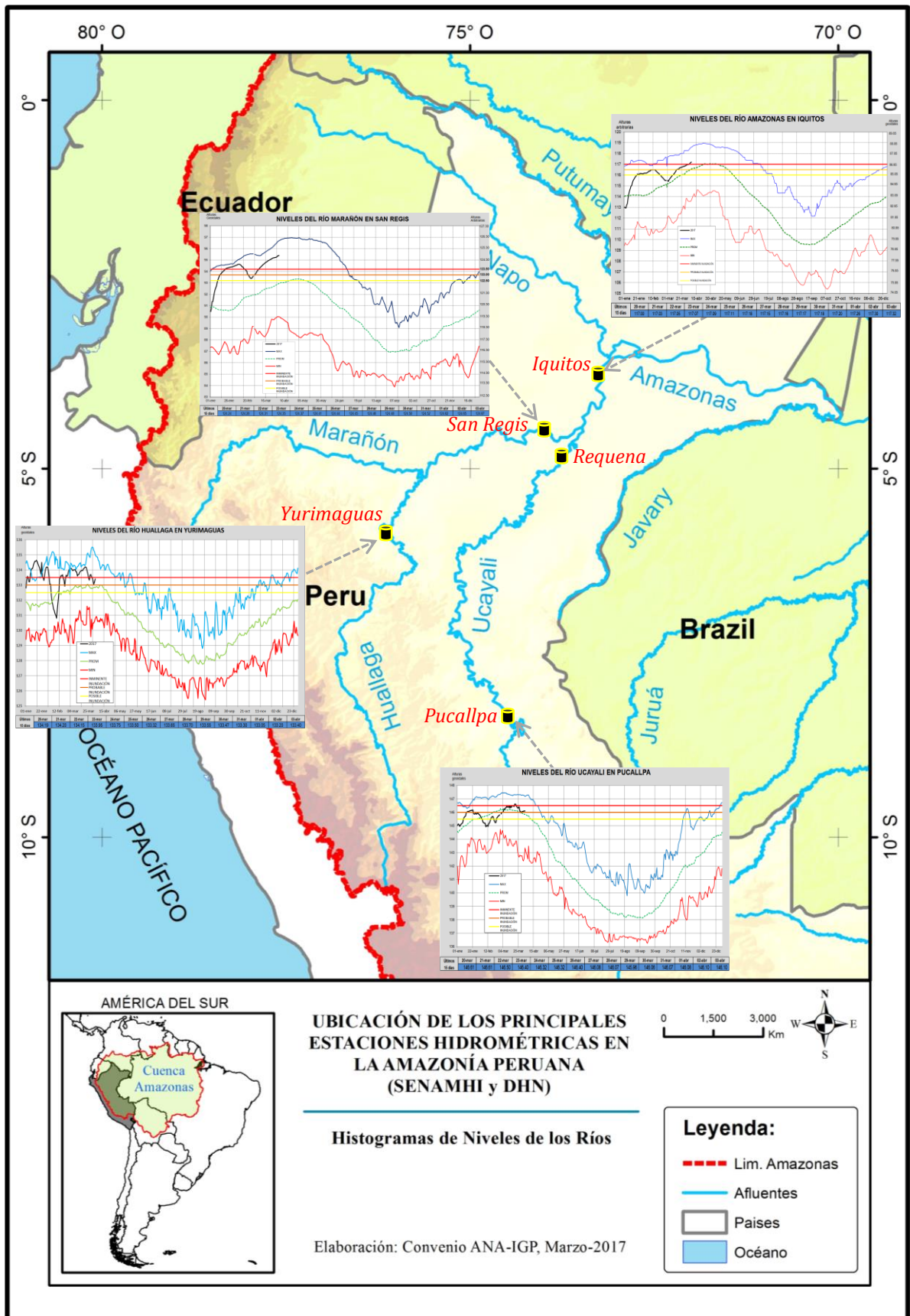


Fig. 6: Histograma de niveles de ríos diarios de los principales río de la Amazonía peruana. Fuente: DHN (<https://www.dhn.mil.pe/>).

## **V. Análisis de las Previsiones**

En este capítulo se analizan los pronósticos de las anomalías de temperatura superficial del mar en las regiones más relevantes (Niño 3.4, Niño 1+2, NATL y SATL). Además, se analizan las anomalías de precipitación para los próximos 03 meses, que corresponden a la temporada de estiaje en la región de la Amazonía peruana. Los reportes provienen de las agencias internacionales y nacionales de pronóstico del clima (IRI, NOAA, CPTEC e IGP).

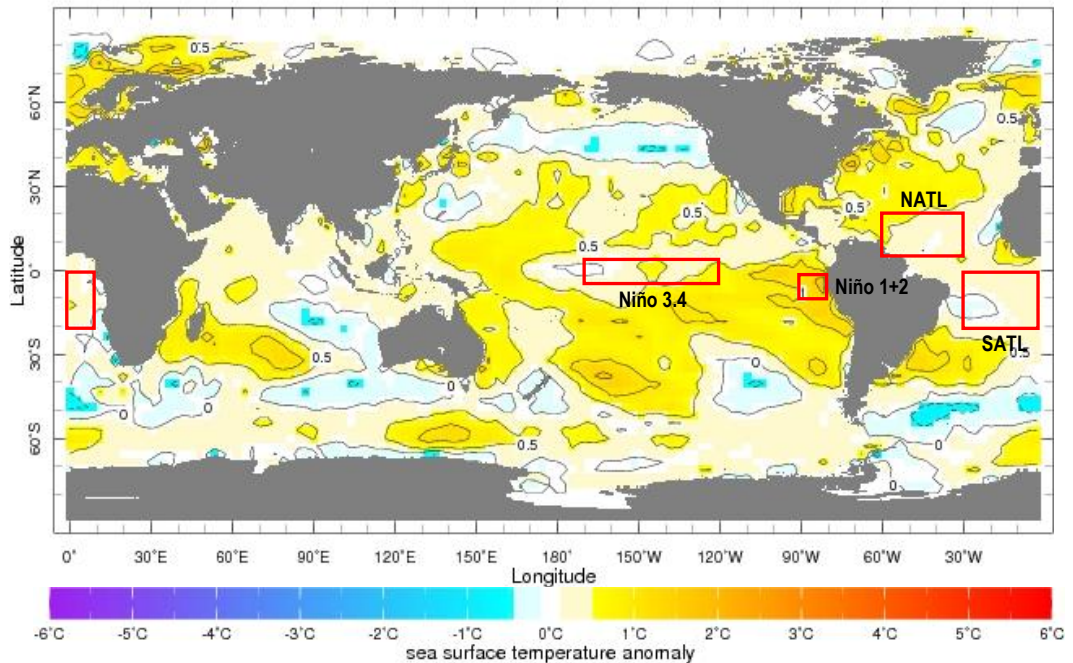
### **5.1. Análisis de la Temperatura Superficial del Mar**

Esta sección contiene los pronósticos de anomalía de temperatura superficial del mar a nivel global desarrollados por el International Research Institute for Climate and Society (IRI) y el US National Multi-Model Ensemble (NMME). Los gráficos de pronósticos del Pacífico ecuatorial y el Atlántico tropical fueron elaborados por el Instituto Geofísico del Perú (IGP) en el marco del Estudio Nacional del Fenómeno El Niño (ENFEN).

Según el reporte del IRI, los pronósticos de anomalías de TSM, para el trimestre abril-junio (AMJ) de 2017, para la región del Atlántico tropical Norte (NATL) se prevén condiciones cálidas débiles (dominio de color amarillo pálido, ver Fig. 7). Para la región del Atlántico tropical Sur (SATL) se pronostican condiciones cálidas débiles con anomalías positivas de TSM que no superarían el rango neutral (región con predominancia de color amarillo pálido, ver Fig. 7). Por otro lado, en la región subtropical del Atlántico Sur se observarían condiciones cálidas moderadas a fuertes (región con anomalías positivas de TSM superiores a 1.0°C, en forma extendida, ver Fig. 7).

Para la región Niño 3.4 se proyectan condiciones cálidas de magnitud débil (0.2°C; dominio de color amarillo pálido en Fig. 7), y cálidas fuertes para la región Niño 1+2 (gran parte de color naranja oscuro en Fig. 7). Del mismo modo, el Comunicado Oficial ENFEN N° 07-2017 (marzo) señala que, sus anomalías positivas podrían persistir al menos hasta el mes de mayo, prolongando la duración de El Niño costero. No obstante, la probabilidad de lluvias muy fuertes en las zonas medias y bajas de la costa entre Tumbes y La Libertad irá reduciéndose durante el mes de abril.

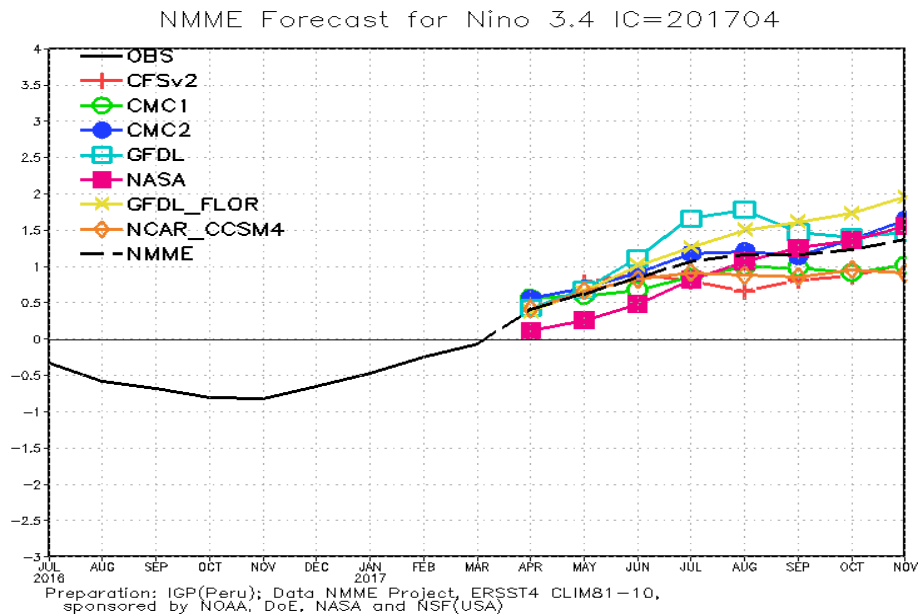
Apr-Jun 2017 IRI seasonal Forecast SSTA issued 0000 1 Mar 2017



**Fig. 7:** Pronóstico de las anomalías de temperatura superficial del mar (°C) a nivel global, para el trimestre abril-junio (AMJ) 2017. Rectángulos rojos indican regiones de análisis. Fuente: *International Research Institute for Climate and Society (IRI)*.

#### **a) Pronóstico de la Región El Niño 3.4**

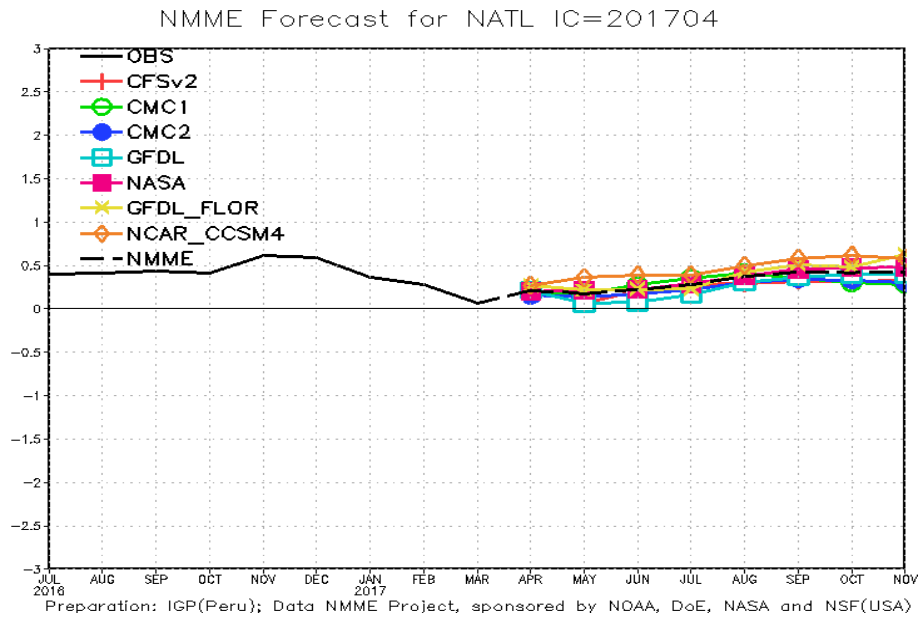
Con respecto a los reportes de NMME (North American Multi-Model Ensemble), las proyecciones de las anomalías de TSM en el Pacífico ecuatorial central (Niño 3.4) para los próximos 03 meses (AMJ), presentarían condiciones ligeramente cálidas de acuerdo al ensamble de los modelos (anomalías de TSM sobre el promedio climatológico con 0.6°C en promedio, ver Fig. 8). Sin embargo, en el mes de abril 2017 se mantendría alrededor de 0.4°C, para luego mantener una tendencia positiva los próximos meses del año 2017 (ver Figura 8).



**Fig. 8:** Pronóstico de las anomalías de temperatura superficial del mar (TSM) por modelos acoplados para la región Niño 3.4 (5°N-5°S, 120°W-170°W) del Pacífico ecuatorial central, a partir de condiciones de fines de marzo 2017. Fuente: CPC/NCEP/NOAA.

#### **b) Pronóstico de la región Atlántico tropical Norte**

Según el reporte del IGP elaborado con datos del NMME, los modelos de pronósticos de fines de marzo 2017 pronostican que las anomalías de TSM en el Atlántico tropical Norte (NATL) para el próximo trimestre abril-junio (AMJ) mostrarían condiciones cálidas débiles (anomalías de TSM por encima del promedio climatológico con 0.3°C en promedio se mantendrían, pero, dentro del rango neutral, ver Fig. 9).

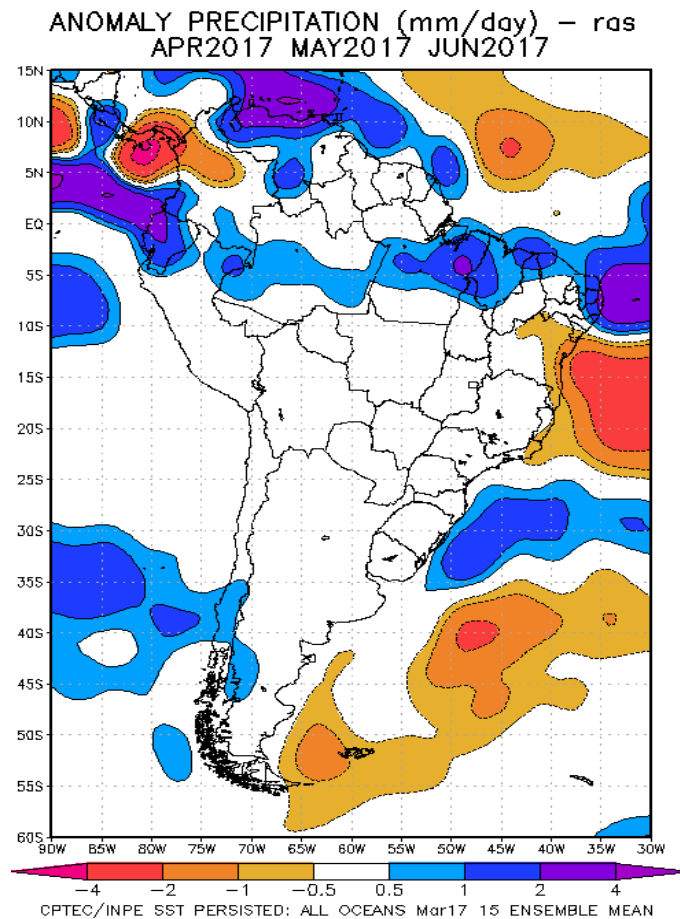


**Fig. 9:** Pronóstico de las anomalías de temperatura superficial del mar (TSM) para la región del Atlántico tropical Norte (NATL: 5°N-20°N, 30°W-60°W), a partir de condiciones de fines de marzo 2017. Fuente: Instituto Geofísico del Perú (IGP).

## 5.2. Análisis del Pronóstico de las Precipitaciones

Según el reporte del CPTEC, el pronóstico de anomalías de precipitaciones para los próximos 03 meses abril-junio (AMJ) 2017 con datos observados de fines de marzo, mostrarían dominio de condiciones normales en gran parte de la cuenca del Amazonas incluida la Amazonía peruana. Sin embargo, se mostrarían anomalías de precipitación superiores al promedio climatológico en el extremo norte de la Amazonía peruana, Amazonía ecuatoriana, triple frontera Perú-Colombia-Brasil y extremo este de la cuenca del Amazonas, con un exceso de 4 mm/día en promedio (Fig. 10).





**Fig. 10:** Pronóstico de las anomalías de la precipitación (mm/día) método **ras** para el trimestre AMJ del 2017 en América del Sur, con datos observados del mes de marzo. Fuente: CPTEC/INPE.

## VI. Conclusiones

Los niveles de los principales ríos de la Amazonía peruana permanecen por encima del promedio climatológico, con mayor intensidad en la estación de San Regis (río Marañón) que registraron valores superiores de lo normal. Se observa un contraste entre el norte y el sur de la Amazonía peruana; ello es coherente con la mayor precipitación acumulada en el presente año hidrológico en la cuenca del río Marañón y condiciones normales en la cuenca del río Ucayali. Estas características han sido correctamente pronosticadas, conforme los reportes de los meses anteriores y en la nota técnica semestral.

Durante el mes de marzo 2017 la TSM en el Atlántico tropical Norte (NATL) mostró condiciones ligeramente cálidas, del mismo modo, el Atlántico tropical Sur (SATL) presentó condiciones ligeramente cálidas (anomalías positivas de TSM de 0.1°C para el

NATL y 0.1°C para SATL). El Pacífico ecuatorial central (región Niño 3.4) mostró condiciones ligeramente cálidas (anomalías positivas de TSM de 0.1°C). Sin embargo, la región Niño 1+2 presentó condiciones cálidas fuertes (anomalías positivas de TSM de 2.0°C) con un ascenso importante respecto al mes anterior, según lo indicado por el ENFEN en su Comunicado Oficial N°07-2017 (marzo).

Para el periodo de análisis (marzo) se observó una fuerte convergencia de flujos de humedad en gran parte de la cuenca del Amazonas, acentuadas sobre las regiones del extremo oeste (Amazonía colombiana, ecuatoriana y gran parte de la Amazonía peruana), central y desembocadura de la cuenca del Amazonas. Esto origina lluvias en gran parte de esta región norte de la cuenca del Amazonas. Asimismo, esta información es coherente con los niveles de los ríos que registran valores por encima de sus promedios climatológicos.

Respecto a las condiciones oceánicas para el próximo trimestre (AMJ), el ENFEN señala en su Comunicado Oficial ENFEN N° 07-2017 (marzo) que la región Niño 3.4 presentaría condiciones cálidas débiles al menos hasta el mes de mayo. Para la región Niño 1+2, los modelos globales pronostican que se prolongarían la duración de El Niño costero al menos hasta el mes de mayo.

La base de datos de las variables hidroclimáticas se sigue actualizando continuamente, recopilando informaciones provenientes de diferentes agencias internacionales de investigación del clima e instituciones locales (NOAA, IRI, CPTEC, SENAMHI, etc.). Desde el mes de febrero 2015 las variables de precipitación se encuentran a tiempo real en la página web <http://intranet.igp.gob.pe/eventos-extremos-amazonia-peruana/>.

## **VII. Referencias**

Espinoza J. C., Guyot J-L, Ronchail J, Cochonneau G, Filizola N, Fraizy P, de Oliveira E, Ordoñez J J and Vauchel P (2009). Contrasting regional discharge evolutions in the Amazon basin (1974–2004) J. Hydrol. 375 297–311

Espinoza J. C., Ronchail J., Guyot J. L., Junquas C., Vauchel P., Lavado W., Drapeau G. y Pombosa R. (2011). "Climate variability and extreme drought in the upper Solimões River (western Amazon Basin): Understanding the exceptional 2010 drought". Geophys. Res. Lett. 38 L13406.

- Espinoza J. C., Ronchail J., Frappart F., Lavado W., Santini W., y Guyot J. L. (2012a). The Major Floods in the Amazonas River and Tributaries (Western Amazon Basin) during the 1970–2012 Period: A Focus on the 2012 Flood. *Journal of Hydrometeorology*.
- Espinoza J. C., Lengaigne M. Ronchail J., Janicot S. (2012b). Large-Scale circulation Patterns and related rainfall in the Amazon basin: a Neuronal Networks approach. *Climate Dynamics*. 38. 121-140. DOI. 10.1007/s00382-011-1010-8
- Espinoza, J. C., Ronchail, J., Frappart, F., Lavado, W., Santini, W., and Guyot, J. L. (2013). The Major Floods in the Amazonas River and Tributaries (Western Amazon Basin) during the 1970–2012 Period: A Focus on the 2012 Flood, *J. Hydrometeorol*, 14, 1000–1008.
- Espinoza JC. Marengo JA. Ronchail J. Molina J., Noriega L., Guyot JL. 2014. The extreme 2014 flood in south-western Amazon basin: The role of tropical-subtropical south Atlantic SST gradient. *Environm. Res. Lett.* 9 124007 doi:10.1088/1748-9326/9/12/124007.
- Janowiak, J. E., and P. Xie. (1999). CAMS-OPI: A global satellite-rain gauge merged product for real-time precipitation monitoring applications. *Journal of Climate* 12:3335-3342.
- Huffman G.J., R.F. Adler, D.T. Bolvin, E.J. Nelkin, (2010) “The TRMM Multi-satellite Precipitation Analysis (TMPA)”. Chapter 1 in *Satellite Applications for Surface Hydrology*, F. Hossain and M. Gebremichael, Eds. Springer Verlag, ISBN: 978-90-481-2914-0, 3-22.
- Lavado W., Labat D., Ronchail J., Espinoza J.C., Guyot JL. (2013). Trends in rainfall and temperature in the Peruvian Amazon-Andes basin over the last 40 years (1965-2007). *Hydrological Processes*. 41, 2944-2957. doi: 10.1002/hyp.9418
- Lavado W. & Espinoza J.C. (2014). “Impactos de El Niño y La Niña en las Lluvias del Perú (1965-2007)”, *Revista Brasileira de Meteorología*, v.29, n.2, 171-182.
- Lavado C W S, Ronchail J, Labat D, Espinoza J C and Guyot J L (2012). “Basin-scale analysis of rainfall and runoff in Peru (1969–2004): Pacific, Titicaca and Amazonas watersheds” *Hydrol. Sci. J.* at press (doi:10.1080/02626667.2012.672985).
- Satyamurty P., Nobre C. A., Silva Dias P.L. (1998). “Tropics - South America”. In: Karoly DJ, Vincent DG (Org.) *Meteorology and hydrology of the Southern Hemisphere*. Boston: Meteorology Monograph. 49:119–139.
- Yoon J. H. y Zeng H. (2010). “An Atlantic influence on Amazon rainfall”. *Clim. Dyn.* 34 249–64.